

한국산 오미자로부터 디벤조사이클로옥타디엔 계열 리그난 화합물 정성 및 정량 분석

김현웅 · 신재형 · 이민기 · 장가희 · 이성현 · 장환희 · 정석태 · 김정봉[†]

농촌진흥청 국립농업과학원

Qualitative and Quantitative Analysis of Dibenzocyclooctadiene Lignans for the Fruits of Korean “Omija” (*Schisandra chinensis*)

Heon Woong Kim, Jae Hyeong Shin, Min Ki Lee, Ga Hee Jang, Sung Hyeon Lee, Hwan Hee Jang,
Seok Tae Jeong and Jung Bong Kim[†]

National Academy of Agricultural Science, RDA, Wanju 55365, Korea.

ABSTRACT

Background : Dibenzocyclooctadiene lignans are secondary metabolites present abundantly in the fruits belonging to the genus *Schisandra*. According to previous studies, *Schisandra* lignans exhibit anti-inflammatory, anti-cancer and anti-diabetic properties, as well as an inhibitory effect on platelet aggregation. Therefore, establishing the Korean “Omija” (*Schisandra chinensis*) as a lignan-rich source, in addition to identifying and quantifying the lignans, is extremely valuable.

Methods and Results : Dibenzocyclooctadiene lignans were analyzed with liquid chromatography using diode array detection/mass spectrometry, from methanol extracts subsequently identified by a constructed chemical library of 50 lignans. A total of 27 components of lignan including gomisin S were identified, of which schisandrin, gomisin A, gomisin N, deoxyschisandrin, γ -schisandrin, and schisandrin C were identified as the major components in the Korean Omija, *Schisandra chinensis*. These compounds were divided into two groups, *S*-biphenyl and *R*-biphenyl based on the configurations of the stereoisomers structures with contents of 661.7 and 1350.1 mg per 100 g dry weight, respectively. The total lignan content averaged 2011.4 mg per 100 g dry weight, of which schisandrin and gomisin N comprised the majority (771.8 and 420.5 mg per 100 g dry weight respectively).

Conclusions : Lignans which are present in high quantities in the ripe fruit of *Schisandra chinensis* are important functional compounds that play a major role in the prevention and treatment of human diseases.

Key Words : *Schisandra chinensis*, Lignan, LC-MS

서 론

오미자 (*Schisandra chinensis* Baill.)는 오미자과 (*Schisandraceae*)에 속하는 낙엽관목인 덩굴식물로, 약 10여종이 동남아시아 지역에 주로 분포하고 있으며, 붉은 색의 과실을 생약재 및 식품원료로 이용하는 약용식물이다 (Kang *et al.*, 2014). 예로부터 강장 및 진정효과로 알려진 오미자 건조 열매는 한국, 중국, 일본의 전통약재로서 광범위하게 사용되어 왔으며 (Chang *et al.*, 2005; Huang *et al.*, 2005), 특히 중

국에서는 익은 열매가 ‘Wuweizi’로 불렸다. 학명에 따라 *Schisandra chinensis* Baill.는 ‘Bei-Wuweizi’로, *Schisandra sphenanthera* Rehd. et Wils.는 ‘Nan-Wuweizi’로 각각 명칭되었다 (Lu and Chen, 2009). 오미자 열매에 함유된 주요 기능성분은 리그닌이 합성되는 과정의 중간단계 물질인 리그난 화합물로 지금까지 약 40여종 이상의 리그난 화합물이 확인되었고 (He *et al.*, 1997), 휘발성 정유성분, 색소, 유기산 등 다양한 성분이 함유되어 있는 것으로 보고되어 있다 (Lu and Chen, 2009). HPLC-DAD 및 질량분석기 (Mass Spectrometry)

[†]Corresponding author: (Phone) +82-63-238-3701 (E-mail) jungbkim@korea.kr

Received 2015 July 30 / 1st Revised 2015 August 18 / 2nd Revised 2015 August 26 / 3rd Revised 2015 September 7 / Accepted 2015 September 8
This is an open access article distributed under the terms of the Creative Commons Attribution Non-Commercial License (<http://creativecommons.org/licenses/by-nc/3.0/>) which permits unrestricted non-commercial use, distribution, and reproduction in any medium, provided the original work is properly cited.

를 이용하여 *S. chinensis*으로부터 각각 15종, 25종의 리그난을 동정 및 정량하는데 성공하였으며 (He et al., 1997; Deng et al., 2008), *S. sphenanthera*에서는 8종의 리그난에 대한 정성 및 정량 정보가 보고되었고 리그난 함량 및 분포는 종 및 재배지역에 따라 극히 다르게 나타났다고 보고되었다 (Wei et al., 2010). *S. chinensis*에는 schisandrin 및 gomisin N이 주요성분으로 확인되는 반면, *S. sphenanthera*에는 γ -schisandrin 및 deoxyschisandrin이 주요성분으로 나타났다 (Deng et al., 2008; Zhu et al., 2007; Wei et al., 2010; Yuan et al., 2011).

이들 리그난 개별성분 중 주요 화합물인 gomisin A, γ -schisandrin, deoxyschisandrin, gomisin N 및 schisandrin C에 대해 high-speed counter-current chromatography (HSCCC) 분리법 등의 고순도 정제연구기법이 보고된 바 있으며 (Huang et al., 2005, 2013), 개별성분에 대한 약리적 효능 연구는 최근까지 계속되고 있다. Schisandrin, gomisin N, gomisin J, schisandrin C는 염증반응 유발물질인 lipopolysaccharide (LPS) 처리에 의해 급격히 생산되는 NO 수치를 저해하는 등 항염효과를 나타냈으며 (Guo et al., 2008; Oh et al., 2010), pregomisin 및 gomisin N은 혈소판응집저해제로서 platelet activation factor (PAF)에 대해 아스피린보다 더 강한 활성을 나타냈다 (Kim et al., 2010). 또한 deoxyschisandrin은 인간장 상피세포 (HCT116 cells)에 있어 H₂O₂로 유도된 apoptotic cell death를 저해하여 잠재적인 항암효과를 보였으며 (Gu et al., 2010), schisandrin, gomisin A, angeloylgomisin H를 함

유하고 있는 분획은 지질 및 당대사를 조절하는 유전자들의 발현 증가에 관련된 PPAR- γ 의 전사활성을 증가시켜 인슐린 저항성을 증진시킴으로서 항당뇨 효과를 나타냈다 (Kwon et al., 2011). 이처럼 오미자 리그난의 주요 성분에 대한 효능은 밝혀지고 있으나, 그 외 다른 리그난에 대한 연구보고는 거의 전무한 상태이며, 한국산 오미자 열매 추출물로부터 리그난 개별성분 조성에 대한 연구 역시 아직 미흡한 실정이다.

따라서 본 연구는 구조 동정을 위해 개별 리그난 화합물 라이브러리 50종을 구축 하여, LC-DAD 및 MS 분석을 통해 한국산 오미자 종실에 함유되어 있는 리그난 함량 및 조성을 평가하여 기초자료를 제공하고자 하였다.

재료 및 방법

1. 공시 재료

오미자 (*Schisandra chinensis* Baill.)는 2013년 경북 문경시 농업기술센터에서 분양받은 열매를 동결건조한 후 cyclone sample mill (UDY Co., Fort Collins, CO, USA)로 2차 분쇄하여 균질화한 후 100 mesh 이하의 분말로 만들고, 이 분말 시료를 분석을 위한 시료 전처리에 사용하였다.

2. 기기 및 시약

전처리 과정 중에 refrigerated multi-purpose centrifuge (Hanil Science Industrial, Incheon, Korea), ultrasonic bath (Daihan Scientific, Wonju, Korea)가 추출 기기로 사용되었으며,

Table 1. Chemical library of 50 lignans by structures from fruits of *Schisandra chinensis* and *Schisandra sphenanthera* on literature sources.

Name	R ₁	R ₂	R ₃	R ₄	R ₅	R ₆	R ₇	R ₈	R ₉	R ₁₀	R ₁₁	Plant sources	MF ¹⁾	MW ²⁾	Reference
<Type A> Dibenzocyclooctadiene lignan (S-biphenyl configuration)															
Gomisin N	CH ₃	CH ₃	CH ₃	CH ₃	-CH ₂ -	H	H	CH ₃	CH ₃	H	<i>S. chinensis</i>	C ₂₃ H ₂₆ O ₆	400	Deng et al., 2008 He et al., 1997 Ikeya et al., 1979b Wang et al., 2011	
Schisandrin C	-CH ₂ -	CH ₃	CH ₃	-CH ₂ -	H	H	CH ₃	CH ₃	H	<i>S. chinensis</i>	C ₂₂ H ₂₄ O ₆	384	Deng et al., 2008 He et al., 1997 Ikeya et al., 1982c Wang et al., 2011		
(-)Gomisin K ₁	CH ₃	CH ₃	CH ₃	CH ₃	CH ₃	H	H	CH ₃	CH ₃	H	<i>S. chinensis</i>	C ₂₃ H ₃₀ O ₆	402	He et al., 1997 Ikeya et al., 1980a Deng et al., 2008	
Gomisin J	CH ₃	H	CH ₃	CH ₃	CH ₃	H	H	CH ₃	CH ₃	H	<i>S. chinensis</i>	C ₂₂ H ₂₈ O ₆	388	He et al., 1997 Ikeya et al., 1978 Wang et al., 2011	
(-)Gomisin L ₂	-CH ₂ -	CH ₃	CH ₃	CH ₃	H	H	CH ₃	CH ₃	H	<i>S. chinensis</i>	C ₂₂ H ₂₆ O ₆	386	He et al., 1997 Ikeya et al., 1982a		
(-)Gomisin L ₁	-CH ₂ -	H	CH ₃	CH ₃	CH ₃	H	H	CH ₃	CH ₃	H	<i>S. chinensis</i>	C ₂₂ H ₂₆ O ₆	386	He et al., 1997 Ikeya et al., 1982a	
Gomisin U	CH ₃	CH ₃	CH ₃	CH ₃	CH ₃	H	β -OH	H	CH ₃	CH ₃	H	<i>S. sphenanthera</i>	C ₂₃ H ₃₀ O ₇	418	Ikeya et al., 1991

오미자 리그난 화합물 정성 및 정량분석

Table 1. Continued.

Name	R ₁	R ₂	R ₃	R ₄	R ₅	R ₆	R ₇	R ₈	R ₉	R ₁₀	R ₁₁	Plant sources	MF ¹⁾	MW ²⁾	Reference
<Type A> Dibenzocyclooctadiene lignan (S-biphenyl configuration)															
Benzoylgomisin U	CH ₃	CH ₃	CH ₃	CH ₃	CH ₃	H	OBen	H	CH ₃	CH ₃	H	<i>S. sphenanthera</i>	C ₃₀ H ₃₄ O ₈	522	Ikeya et al., 1991
Gomisin S	CH ₃	CH ₃	CH ₃	CH ₃	CH ₃	H	α-OH	H	CH ₃	CH ₃	H	<i>S. chinensis</i>	C ₂₃ H ₃₀ O ₇	418	Wang et al., 2011 Ikeya et al., 1988a
Benzoylgomisin P	CH ₃	CH ₃	CH ₃	CH ₃	–CH ₂	OBen	OH	CH ₃	CH ₃	H	<i>S. sphenanthera</i>	C ₃₀ H ₃₂ O ₉	536	Ikeya et al., 1990 He et al., 1997	
Tigloylgomisin P	CH ₃	CH ₃	CH ₃	CH ₃	–CH ₂	OTig	OH	CH ₃	CH ₃	H	<i>S. chinensis</i> <i>S. sphenanthera</i>	C ₂₈ H ₃₄ O ₉	514	Ikeya et al., 1980b Ikeya et al., 1990 He et al., 1997	
Angeloylgomisin P	CH ₃	CH ₃	CH ₃	CH ₃	–CH ₂	OAng	OH	CH ₃	CH ₃	H	<i>S. chinensis</i> <i>S. sphenanthera</i>	C ₂₈ H ₃₄ O ₉	514	Ikeya et al., 1980b Ikeya et al., 1990 Deng et al., 2008 Ikeya et al., 1979b	
Gomisin D	CH ₃	OH										<i>S. chinensis</i>	C ₂₈ H ₃₄ O ₁₀	530	Wang et al., 2011 Yang et al., 2011 Deng et al., 2008 Ikeya et al., 1979b
Gomisin E	H	CH ₃										<i>S. chinensis</i>	C ₂₈ H ₃₄ O ₉	514	Wang et al., 2011 Yang et al., 2011 He et al., 1997
Epigomisin O	CH ₃	CH ₃	CH ₃	CH ₃	–CH ₂	α-OH	H	CH ₃	CH ₃	H	<i>S. chinensis</i> <i>S. sphenanthera</i>	C ₂₃ H ₂₈ O ₇	416	Ikeya et al., 1979b Ikeya et al., 1991 He et al., 1997	
Gomisin O	CH ₃	CH ₃	CH ₃	CH ₃	–CH ₂	β-OH	H	CH ₃	CH ₃	H	<i>S. chinensis</i>	C ₂₃ H ₂₈ O ₇	416	Ikeya et al., 1979b Ikeya et al., 1991	
6-O-Benzoylgomisin O	CH ₃	CH ₃	CH ₃	CH ₃	–CH ₂	OBen	H	CH ₃	CH ₃	H	<i>S. chinensis</i>	C ₃₀ H ₃₂ O ₈	520		
Tigloylgomisin O	CH ₃	CH ₃	CH ₃	CH ₃	–CH ₂	OTig	H	CH ₃	CH ₃	H	<i>S. sphenanthera</i>	C ₂₈ H ₃₄ O ₈	498	Ikeya et al., 1991	
Angeloylgomisin O	CH ₃	CH ₃	CH ₃	CH ₃	–CH ₂	OAng	H	CH ₃	CH ₃	H	<i>S. chinensis</i>	C ₂₈ H ₃₄ O ₈	498	Ikeya et al., 1982b	
Angeloylisogomisin O	–CH ₂	CH ₃	CH ₃	CH ₃	CH ₃	OAng	H	CH ₃	CH ₃	H	<i>S. chinensis</i>	C ₂₈ H ₃₄ O ₈	498	Ikeya et al., 1982b	
Benzoylisogomisin O	–CH ₂	CH ₃	CH ₃	CH ₃	CH ₃	OBen	H	CH ₃	CH ₃	H	<i>S. chinensis</i>	C ₃₀ H ₃₂ O ₈	520	Ikeya et al., 1982b	
Schisandrene	–CH ₂ -	CH ₃	CH ₃	–CH ₂ -	OBen	=CH ₂	H	CH ₃	S. chinensis			C ₂₉ H ₂₆ O ₈	502		
Benzoylgomisin Q	CH ₃	CH ₃	CH ₃	CH ₃	CH ₃	OBen	CH ₃	OH	CH ₃	H	<i>S. chinensis</i> <i>S. sphenanthera</i>	C ₃₁ H ₃₆ O ₉	552	Ikeya et al., 1990 Wang et al., 2011	
Tigloylgomisin Q	CH ₃	CH ₃	CH ₃	CH ₃	CH ₃	OTig	CH ₃	OH	CH ₃	H	<i>S. chinensis</i>	C ₂₉ H ₃₈ O ₉	530	Yang et al., 2011	

정량을 위한 내부표준물질로서 bicyclol (Sigma, St. Louis, MO, USA)이 사용되었다. 그 밖의 HPLC 용매 methanol (MeOH), water, acetonitrile (ACN), formic acid 등은 Sigma-Aldrich (St. Louis, MO, USA) 제품을 사용하였다.

3. 시료 전처리

0.5 g의 powder 시료를 50 mL conical tube에 담아 15 mL의 MeOH 및 internal standard solution (내부표준물질; bicyclol 500 ppm) 1 mL을 넣어(Wang et al., 2008) 30°C의 초음파추출기에서 30분 동안 추출한 후, 원심분리하여 (3300 rpm, 15분, 4°C) 상층액을 취하는 과정을 3번 진행하였다. 추출물로부터 당을 포함한 불순물을 제거하기 위해 Strata C₁₈-E solid phase extraction (SPE, Phenomenex, Torrance, CA, USA) pre-

column에 MeOH 10 mL, H₂O 10 mL의 순으로 흘려주어 활성화시켜주었다. 감압 농축하여 물에 재용해된 추출총액 10 mL을 loading 후, H₂O 10 mL로 세척하여 MeOH 10 mL로 elution 시켰다. 정량을 위해 용출된 리그난 여과액은 N₂ 가스로 농축한 다음, 1 mL의 MeOH로 재용해하여 리그난 동정 및 정량분석의 시료로 사용하였다.

4. 오미자 열매로부터 리그난 화합물 라이브러리 제작

개별 성분에 대한 효율적인 동정을 위해 여러 가지 인용문헌 (Table 1)으로부터 오미자 열매에 존재하는 50종의 리그난 LC-MS 라이브러리 (화합물명, 분자량, 구조, 단편이온패턴, 인용문헌 등 포함)를 직접 제작하여 사용하였다.

Table 1. Continued.

Name	R ₁	R ₂	R ₃	R ₄	R ₅	R ₆	R ₇	R ₈	R ₉	R ₁₀	R ₁₁	Plant sources	MF ¹⁾	MW ²⁾	Reference
<Type A> Dibenzocyclooctadiene lignan (S-biphenyl configuration)															
Angeloylgomisin Q	CH ₃	CH ₃	CH ₃	CH ₃	CH ₃	CH ₃	OAng	CH ₃	OH	CH ₃	H	<i>S. chinensis</i>	C ₂₉ H ₃₈ O ₉	530	Ikeya et al., 1979c Yang et al., 2011 He et al., 1997 Taguchi and Ikeya. 1977 Wang et al., 2011 Yang et al., 2011 He et al., 1997 Taguchi and Ikeya. 1977 Wang et al., 2011 Yang et al., 2011 Deng et al., 2008 He et al., 1997 Ikeya et al., 1990 Taguchi and Ikeya. 1977 Wang et al., 2011 Yang et al., 2011 He et al., 1997 Ikeya et al., 1990
Gomisin F	-CH ₂ -	CH ₃	CH ₃	CH ₃	CH ₃	OAng	CH ₃	OH	CH ₃	H	<i>S. chinensis</i>	C ₂₈ H ₃₄ O ₉	514	Taguchi and Ikeya. 1977 Wang et al., 2011 Yang et al., 2011 He et al., 1997 Taguchi and Ikeya. 1977 Wang et al., 2011 Yang et al., 2011 He et al., 1997 Taguchi and Ikeya. 1977 Wang et al., 2011 Yang et al., 2011 He et al., 1997 Ikeya et al., 1990	
Gomisin G	-CH ₂ -	CH ₃	CH ₃	CH ₃	CH ₃	OBen	CH ₃	OH	CH ₃	H	<i>S. chinensis</i>	C ₃₀ H ₃₂ O ₉	536	Taguchi and Ikeya. 1977 Wang et al., 2011 Yang et al., 2011 Deng et al., 2008 He et al., 1997 Ikeya et al., 1990 Taguchi and Ikeya. 1977 Wang et al., 2011 Yang et al., 2011 He et al., 1997 Ikeya et al., 1990	
Schisantherin A	CH ₃	CH ₃	CH ₃	CH ₃	-CH ₂ -	OBen	CH ₃	OH	CH ₃	H	<i>S. chinensis</i>	C ₃₀ H ₃₂ O ₉	536	Taguchi and Ikeya. 1977 Wang et al., 2011 Yang et al., 2011 He et al., 1997 Ikeya et al., 1990	
Schisantherin B	CH ₃	CH ₃	CH ₃	CH ₃	-CH ₂ -	OAng	CH ₃	OH	CH ₃	H	<i>S. chinensis</i>	C ₂₈ H ₃₄ O ₉	514	Taguchi and Ikeya. 1977 Wang et al., 2011 Yang et al., 2011	
Schisantherin C	CH ₃	CH ₃	CH ₃	CH ₃	-CH ₂ -	OTig	CH ₃	OH	CH ₃	H	<i>S. sphenanthera</i>	C ₂₈ H ₃₄ O ₉	514	Ikeya et al., 1990 Wang et al., 2011 Yang et al., 2011	
Schisantherin D	-CH ₂ -	CH ₃	CH ₃	-CH ₂ -	OBen	CH ₃	OH	CH ₃	H	<i>S. chinensis</i>	C ₂₉ H ₂₈ O ₉	520	Ikeya et al., 1982c Ikeya et al., 1990		
Schisantherin E	CH ₃	CH ₃	CH ₃	CH ₃	CH ₃	H	OBen	CH ₃	OH	CH ₃	H	<i>S. sphenanthera</i>	C ₃₀ H ₃₄ O ₉	538	Ikeya et al., 1990
Gomisin R	-CH ₂ -	CH ₃	CH ₃	-CH ₂ -	OH	H	CH ₃	CH ₃	H	<i>S. chinensis</i>	C ₂₂ H ₂₄ O ₇	400	He et al., 1997 Ikeya et al., 1982c		
<Type A> Dibenzocyclooctadiene lignan (R-biphenyl configuration)															
Deoxyschisandrin (Schisandrin A)	CH ₃	CH ₃	CH ₃	CH ₃	CH ₃	CH ₃	H	H				<i>S. chinensis</i> <i>S. sphenanthera</i>	C ₂₄ H ₃₂ O ₆	416	Deng et al., 2008 He et al., 1997 Ikeya et al., 1979b Ikeya et al., 1980a Ikeya et al., 1988b Wang et al., 2011 Yang et al., 2011
(+)-Gomisin K ₂	CH ₃	CH ₃	CH ₃	CH ₃	CH ₃	H	H	H				<i>S. chinensis</i>	C ₂₃ H ₃₀ O ₆	402	Ikeya et al., 1980a He et al., 1997
Schisanhenol ((+)- Gomisin K ₃)	CH ₃	CH ₃	CH ₃	H	CH ₃	CH ₃	H	H				<i>S. chinensis</i> / <i>S. sphenanthera</i>	C ₂₃ H ₃₀ O ₆	402	Ikeya et al., 1980a Ikeya et al., 1990 Wang et al., 2011

5. HPLC-DAD-ESI/MS를 이용한 개별 리그난 동정 및 정량 분석

개별 리그난을 동정 및 정량하기 위해 Luna C₁₈ (4.6 × 250 mm I.D., 5 μm; Phenomenex, Torrance, CA, USA) 역상 컬럼과 더불어 2998 photodiode array detector (PDA)를 장착한 Alliance e2695 HPLC system (Waters Co., Milford, MA, USA) 및 Micromass ZQ ESI-MS (Waters Co.,

Milford, MA, USA)를 이용하여 분석하였다. 검출 파장은 210 - 400 nm (대표파장 254 nm)에서 수행되었으며, oven 온도는 35°C, 유속은 1 mL/min이었다. 이동상은 0.1% formic acid 을 포함하는 water (이동상 A) 및 acetonitrile (이동상 B)가 사용되었으며, 상기 전처리 샘플 분석은 이동상 B의 상대적 비율을 조정하여 gradient 조건으로 수행 하였다 (0 - 12 min, 45 - 52%; 12 - 15 min, 52 - 53%; 15 - 16 min, 53 - 58%;

오미자 리그난 화합물 정성 및 정량분석

Table 1. Continued.

Name	R ₁	R ₂	R ₃	R ₄	R ₅	R ₆	R ₇	R ₈	R ₉	R ₁₀	R ₁₁	Plant sources	MF ¹⁾	MW ²⁾	Reference
<Type A> Dibenzocyclooctadiene lignan (<i>R</i> -biphenyl configuration)															
γ -Schisandrin	CH ₃	CH ₃	CH ₃	CH ₃	-CH ₂ -	H(<i>dl</i>)	H					<i>S. chinensis</i>	C ₂₃ H ₂₈ O ₆	400	Deng et al., 2008 He et al., 1997 Ikeya et al., 1982a Ikeya et al., 1982a
Schisandrin B ((\pm)- <i>r</i> -Schisandrin)	CH ₃	CH ₃	CH ₃	CH ₃	-CH ₂ -	H	H					<i>S. chinensis</i>	C ₂₃ H ₂₈ O ₆	400	Wang et al., 2011 Yang et al., 2011
(\pm)-Gomisin M ₁	CH ₃	-CH ₂ -	H	CH ₃	CH ₃	H	H					<i>S. chinensis</i>	C ₂₂ H ₂₆ O ₆	386	He et al., 1997 Ikeya et al., 1982a
(+)-Gomisin M ₂	H	-CH ₂ -	CH ₃	CH ₃	CH ₃	H	H					<i>S. chinensis</i>	C ₂₂ H ₂₆ O ₆	386	He et al., 1997 Ikeya et al., 1982a He et al., 1997
Schisandrin (Schisandrol A)	CH ₃	CH ₃	CH ₃	CH ₃	CH ₃	CH ₃	OH	H				<i>S. chinensis</i>	C ₂₄ H ₃₂ O ₇	432	Ikeya et al., 1979a Wang et al., 2011 Yang et al., 2011 Deng et al., 2008 He et al., 1997
Gomisin A (Schisandrol B)	CH ₃	CH ₃	CH ₃	CH ₃	-CH ₂ -	OH	H					<i>S. chinensis</i>	C ₂₃ H ₂₈ O ₇	416	Taguchi and Ikeya, 1977 Wang et al., 2011 Yang et al., 2011
Gomisin H	CH ₃	CH ₃	CH ₃	H	CH ₃	CH ₃	OH	H				<i>S. chinensis</i>	C ₂₃ H ₃₀ O ₇	418	Ikeya et al., 1979a Deng et al., 2008 He et al., 1997
Angeloylgomisin H	CH ₃	CH ₃	CH ₃	Ang	CH ₃	CH ₃	OH	H				<i>S. chinensis</i>	C ₂₈ H ₃₆ O ₈	500	Ikeya et al., 1979a Wang et al., 2011 Yang et al., 2011 Deng et al., 2008 He et al., 1997
Tigloylgomisin H	CH ₃	CH ₃	CH ₃	Tig	CH ₃	CH ₃	OH	H				<i>S. chinensis</i>	C ₂₈ H ₃₆ O ₈	500	Ikeya et al., 1979a Wang et al., 2011 Yang et al., 2011
Benzoylgomisin H	CH ₃	CH ₃	CH ₃	Ben	CH ₃	CH ₃	OH	H				<i>S. chinensis</i>	C ₃₀ H ₃₄ O ₈	522	Ikeya et al., 1979a Wang et al., 2011
Gomisin T	CH ₃	CH ₃	CH ₃	CH ₃	CH ₃	H	OH	H				<i>S. chinensis</i>	C ₂₃ H ₃₀ O ₇	418	Ikeya et al., 1988a
Isoschisandrin	CH ₃	CH ₃	CH ₃	CH ₃	CH ₃	CH ₃	CH ₃	H	OH			<i>S. chinensis</i>	C ₂₄ H ₃₂ O ₇	432	He et al., 1997 <i>S. sphenanthera</i> Ikeya et al., 1988b
<Type B> 2,3-Dimethyl-1,4-diarylbutane lignan															
Pregomisin	OH	OCH ₃ OCH ₃	OH	CH ₃								<i>S. chinensis</i>	C ₂₂ H ₃₀ O ₆	390	Ikeya et al., 1978
(+)-Anwulignan	OCH ₂ O	H	H	OH								<i>S. sphenanthera</i>	C ₂₀ H ₂₄ O ₄	328	

Ang; Angeloyl, Tig; Tigloyl, Ben; Benzoyl.

¹⁾MF; Molecular Formula

²⁾MW; Molecular Weight

16 - 24 min, 58 - 64%; 24 - 26 min, 64 - 75%; 26 - 40min, 75 - 76%; 40 - 41 min, 76 - 100%; 41 - 55 min, 100%; 55 - 57 min, 100 - 45%; 57 - 65 min, 45%). MS 분석은 electrospray ionization (ESI) source를 이용한 positive ionization mode로 진행되었으며, MS parameter로 각각 cone voltage 30 V, source 온도 120°C, desolvation 온도 350°C 및 desolvation N₂ 가스 800 l /hr^o 설정되었다. 분자량 범위는 full scan 타입으로 50 - 600 m/z^o였다. 개별 리그난 정량은 각각의 표준물질

을 구비하기 어려운 관계로 relative response factor (RRF)을 고려하지 않고 내부표준물질 bicyclol을 이용하여 비례식 (a/b = x/y)으로 계산 한 결과를 이용하였다.

결과 및 고찰

오미자 (*Schisandra chinensis* Baill.)의 리그난은 구조적 이성 질체화에 따라 분리 및 동정이 상당히 까다로우며, 앞으로 발생

가능 한 물질이 수백 종으로 예상되나, 선행 연구 결과로부터 dibenzocyclooctadiene lignans 및 2,3-dimethyl-1,4-diarylbutane lignans 계열 총 50종의 리그난 화합물 정보가 구축되었다 (Table 1). 직접 제작된 오미자 리그난 화합물 라이브러리를 바탕으로 PDA detection에 따른 UV spectrum, LC-ESI/MS spectrum 등을 확인한 결과, schisandrin을 포함한 총 27종의 개별 성분의 peak가 분리 및 동정되었다 (Fig. 1). 한국산 오미자 함유 27종의 dibenzocyclooctadiene 리그난은 크게 2가지 타입의 *S*-biphenyl configuration 및 *R*-biphenyl configuration 이성질체 구조로서 구분되며, 이들은 Fig. 2 및 Table 1에서 알 수 있듯이, 복합적 대칭 특징, 이성질체특성 및 작용기 (angeloyl, tigloyl, benzoyl) 등에 따라 복잡하고 다양한 구조를 나타내고 있다.

모든 개별 리그난은 ESI source를 장착한 single quadrupole MS에서 positive ionization mode 분석시, $[M+H]^+$, $[M+Na]^+$, $[M+NH_4]^+$ 형태의 ion peak가 확인되었으며, 전체구조로부터 H_2O (m/z 18) 또는 CH_3O (m/z 31)이 잘려나가는 fragment 패턴을 확인할 수 있었다. 특히 tigloylgomisin H, tigloylgomisin Q, tigloylgomisin P, angeloylgomisin H는 모분자 이온으로부터 $C_5H_8O_2$ (tigloyl, angeloyl moieties)가 단편으로 소실되었으며, benzoylgomisin H, benzoylgomisin Q는 $C_7H_6O_2$ (benzoyl moiety)가 소실되는 패턴을 보였다. Table 2 및 Fig. 3을 보았을 때, 본 연구결과에서 제시된 리그난의 질량 단편 이온 패턴은 기존 연구 문헌 (He et al., 1997; Deng et al., 2008; Wei et al., 2010)에서 제시한 $[M+H]^+$, $[M+Na]^+$, $[M+K]^+$, $[M+H-H_2O]^+$ 의 단순패턴보다 자세하게 나타나 이를 구조의 정확한 확인이 가능하였다.

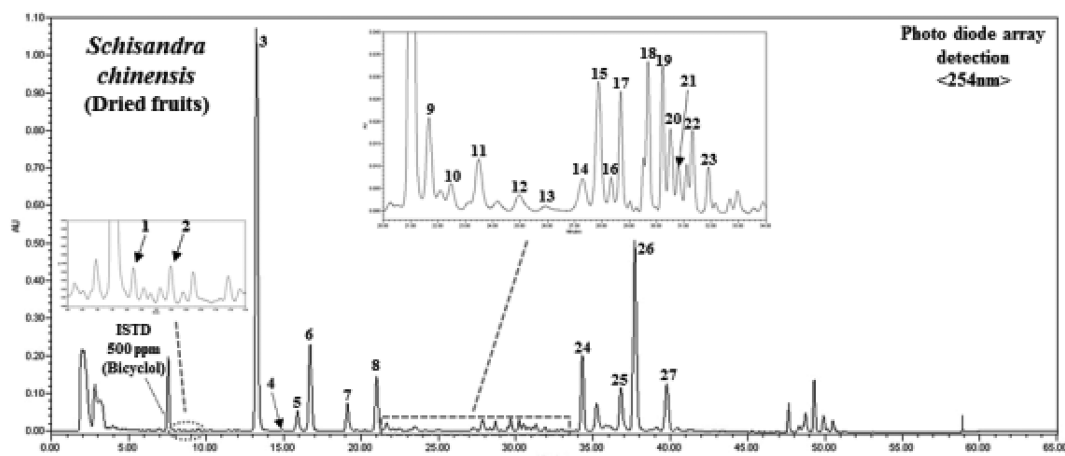


Fig. 1. HPLC chromatogram of 27 dibenzocyclooctadiene lignans from an methanol extract of *Schisandra chinensis* (Omija) fruits. 1; gomisin S, 2; isoschisandrin, 3; schisandrin, 4; gomisin D, 5; gomisin J, 6; gomisin A, 7; tigloylgomisin H, 8; angeloylgomisin H, 9; benzoylgomisin H, 10; benzoylgomisin Q, 11; tigloylgomisin Q, 12; gomisin G, 13; tigloylgomisin P, 14; (+)-gomisin K₂, 15; (-)-gomisin K₁, 16; schisantherin A, 17; schisantherin B, 18; schisanhenol, 19; (+)-gomisin M₂, 20; (-)-gomisin M₁, 21; gomisin E, 22; (-)-gomisin L₁, 23; (-)-gomisin L₂, 24; deoxyschisandrin, 25; γ-schisandrin, 26; gomisin N, 27; schisandrin C.

한국산 오미자 건조 열매의 메탄올 추출물에서 분리된 개별 dibenzocyclooctadiene 리그난 함량 및 MS fragment 패턴을 나타내었다 (Table 2). 리그난 정량은 relative response factor (RRF)을 고려하지 않은 상태로 내부표준물질 bicyclol을 이용하여 수행하였으며 (Wang et al., 2008), 일반적으로 과육에 포함 되었을 것으로 판단되는 당 성분의 방해를 피하기 위하여 SPE (solid phase extraction) 과정을 통해 당을 포함한 불순물을 제거하는 과정을 포함하였으며 분석 가능한 MS spectrum을 얻을 수 있었다.

오미자 함유 총 리그난 함량은 2011.4 mg/100 g (*S* 및 *R*-

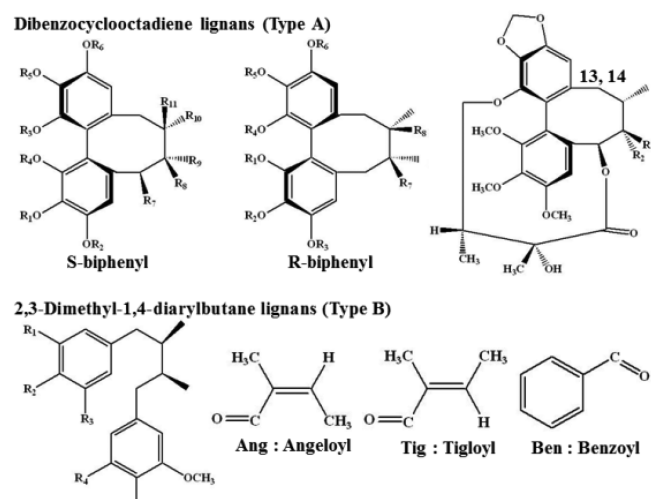


Fig. 2. Chemical structures of individual 50 lignans reported from fruits of *Schisandra chinensis* and *Schisandra sphenanthera*.

오미자 리그난 화합물 정성 및 정량분석

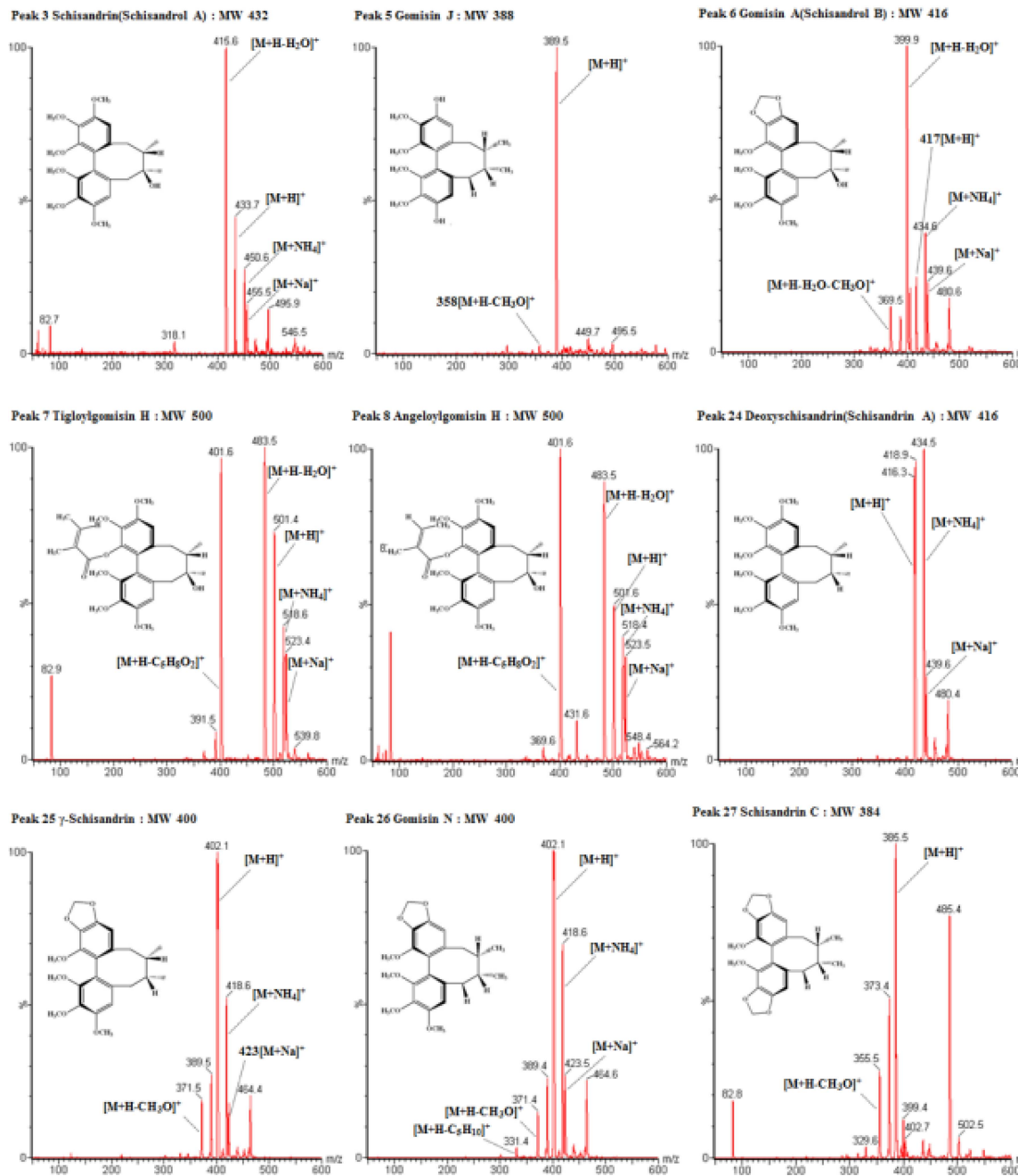
Table 2. MS spectrometric data and amounts of 27 lignans from an methanol extract of *Schisandra chinensis* (Omija) fruits.

Peak No.	Dibenzocyclooctadiene lignans	Types	Fragment ions (m/z)	<i>Schisandra Fruits</i> (mg/100 g DW)
1	Gomisin S	S	419[M+H] ⁺ , 401[M+H-H ₂ O] ⁺ , 369[M+H-H ₂ O-CH ₃ O] ⁺	2.5 ± 0.1
2	Isoschisandrin	R	433[M+H] ⁺ , 415[M+H-H ₂ O] ⁺	1.9 ± 0.2
3	Schisandrin (Schisandrol A)	R	455[M+Na] ⁺ , 450[M+NH ₄] ⁺ , 433[M+H] ⁺ , 415[M+H-H ₂ O] ⁺	771.8 ± 4.0
4	Gomisin D	S	553[M+Na] ⁺ , 548[M+NH ₄] ⁺ , 531[M+H] ⁺ , 485[M+H-CH ₂ O ₂] ⁺ , 401[M+H-C ₆ H ₁₀ O ₃] ⁺	1.3 ± 0.1
5	Gomisin J	S	389[M+H] ⁺ , 358[M+H-CH ₃ O] ⁺	38.5 ± 0.7
6	Gomisin A (Schisandrol B)	R	439[M+Na] ⁺ , 434[M+NH ₄] ⁺ , 417[M+H] ⁺ , 399[M+H-H ₂ O] ⁺ , 369[M+H-H ₂ O-CH ₃ O] ⁺	172.5 ± 1.8
7	Tigloylgomisin H	R	523[M+Na] ⁺ , 518[M+NH ₄] ⁺ , 501[M+H] ⁺ , 483[M+H-H ₂ O] ⁺ , 401[M+H-C ₅ H ₈ O ₂] ⁺	50.1 ± 0.4
8	Angeloylgomisin H	R	523[M+Na] ⁺ , 518[M+NH ₄] ⁺ , 501[M+H] ⁺ , 483[M+H-H ₂ O] ⁺ , 401[M+H-C ₅ H ₈ O ₂] ⁺	108.6 ± 1.0
9	Benzoylgomisin H	R	545[M+Na] ⁺ , 523[M+H] ⁺ , 505[M+H-H ₂ O] ⁺ , 401[M+H-C ₇ H ₆ O ₂] ⁺	17.0 ± 0.2
10	Benzoylgomisin Q	S	575[M+Na] ⁺ , 553[M+H] ⁺ , 431[M+H-C ₇ H ₆ O ₂] ⁺ , 387[M+H-C ₇ H ₆ O ₂ -C ₂ H ₄ O] ⁺	5.0 ± 0.1
11	Tigloylgomisin Q	S	553[M+Na] ⁺ , 531[M+H] ⁺ , 431[M+H-C ₅ H ₈ O ₂] ⁺	11.5 ± 0.3
12	Gomisin G	S	559[M+Na] ⁺ , 554[M+NH ₄] ⁺ , 537[M+H] ⁺ , 415[M+H-C ₇ H ₆ O ₂] ⁺ , 371[M+H-C ₇ H ₆ O ₂ -C ₂ H ₄ O] ⁺	4.5 ± 0.1
13	Tigloylgomisin P	S	537[M+Na] ⁺ , 515[M+H] ⁺ , 415[M+H-C ₅ H ₈ O ₂] ⁺	0.9 ± 0.0
14	(+)-Gomisin K ₂	R	425[M+Na] ⁺ , 420[M+NH ₄] ⁺ , 403[M+H] ⁺ , 385[M+H-H ₂ O] ⁺	8.0 ± 0.1
15	(-)Gomisin K ₁	S	425[M+Na] ⁺ , 420[M+NH ₄] ⁺ , 403[M+H] ⁺	23.9 ± 0.2
16	Schisantherin A (Gomisin C)	S	559[M+Na] ⁺ , 554[M+NH ₄] ⁺ , 537[M+H] ⁺ , 415[M+H-C ₇ H ₆ O ₂] ⁺ , 371[M+H-C ₇ H ₆ O ₂ -C ₂ H ₄ O] ⁺	4.7 ± 0.0
17	Schisantherin B (Gomisin B)	S	537[M+Na] ⁺ , 532[M+NH ₄] ⁺ , 515[M+H] ⁺ , 415[M+H-C ₅ H ₈ O ₂] ⁺ , 371[M+H-C ₅ H ₈ O ₂ -C ₂ H ₄ O] ⁺	14.4 ± 0.1
18	Schisanhenol ((+)-Gomisin K ₃)	R	425[M+Na] ⁺ , 403[M+H] ⁺ , 385[M+H-H ₂ O] ⁺ , 370[M+H-H ₂ O-CH ₃] ⁺	18.2 ± 0.1
19	(+)-Gomisin M ₂	R	409[M+Na] ⁺ , 387[M+H] ⁺	15.5 ± 0.1
20	(^ø)-Gomisin M ₁	R	409[M+Na] ⁺ , 387[M+H] ⁺	11.9 ± 0.0
21	Gomisin E	S	537[M+Na] ⁺ , 532[M+NH ₄] ⁺ , 515[M+H] ⁺ , 469[M+H-CH ₂ O ₂] ⁺ , 385[M+H-C ₆ H ₁₀ O ₃] ⁺	6.7 ± 0.1
22	(-)Gomisin L ₁	S	409[M+Na] ⁺ , 387[M+H] ⁺	10.0 ± 0.1
23	(-)Gomisin L ₂	S	409[M+Na] ⁺ , 387[M+H] ⁺	5.5 ± 0.0
24	Deoxyschisandrin (Schisandrin A)	R	439[M+Na] ⁺ , 434[M+NH ₄] ⁺ , 417[M+H] ⁺	138.8 ± 0.6
25	γ-Schisandrin	R	423[M+Na] ⁺ , 418[M+NH ₄] ⁺ , 401[M+H] ⁺ , 371[M+H-CH ₃ O] ⁺	95.8 ± 1.5
26	Gomisin N	S	423[M+Na] ⁺ , 418[M+NH ₄] ⁺ , 401[M+H] ⁺ , 371[M+H-CH ₃ O] ⁺ , 331[M+H-C ₅ H ₁₀] ⁺	420.5 ± 2.9
27	Schisandrin C	S	385[M+H] ⁺ , 355[M+H-CH ₃ O] ⁺	111.8 ± 1.1
		Total		2011.4 ± 12.1

Results was expressed as the means ± SD (n = 3). S; S-biphenyl, R; R-biphenyl. The content of individual lignans was calculated by internal standard, bicyclol, relatively.

biphenyl 계열 각각 661.7 및 1350.1 mg/100 g DW으로, 건조열매 중 약 2%를 차지하여 주요 기능성분임을 재확인할 수 있었다. 이는 참깨 (*Sesamum indicum* L.) 종자 함유 리그난인 세사민 및 세사몰린 총량 (한국 9개 지역; 164 - 982 mg/100 g DW, 평균 621 mg/100 g DW)보다 약 3배 이상 높은

함량을 나타냈으며 (Lee et al., 2008), 태국 58 계통 (평균 217 mg/100 g DW) 보다 약 10배 가까이 높게 나타났다 (Rangkadilok et al., 2010). 본 연구결과는 중국 12개 지역에서 수집된 *S. chinensis* 시료가 15종 리그난에 대해 1192.2 - 3641.3 (평균 2038.6) mg/100 g DW의 총 함량 분포를 나타낸

Fig. 3. MS spectra of major lignans detected from an methanol extract of *Schisandra chinensis* (Omija) fruits.

결과와 비슷했으며 (Deng *et al.*, 2008), 중국 3개 지역에서 수집된 *S. sphenanthera* 시료 (8종 리그난; 1346, 1907, 2225 mg/100 g DW) 보다는 약간 높은 함량을 나타내었다 (Yuan *et al.*, 2011). 분리된 27종의 리그난 중 schisandrin, gomisin J, gomisin A, tigloylgomisin H, angeloylgomisin H, deoxyschisandrin, γ -schisandrin, gomisin N, schisandrin C의 총 9종이 주요성분으로 확인되었다. 특히 schisandrin은

711.8 mg/100 g DW으로 가장 높은 함량을 나타내어, 총 리그난 함량 중 약 30% (*R*-biphenyl 계열 함량 중 약 50%)를 차지하였다. 그 다음으로 gomisin N [420.5 mg/100 g DW으로 높은 함량을 나타내어 전체 함량의 약 20% (*S*-biphenyl 계열 함량 중 약 60%)를 차지하였다 (Table 2). 기존의 연구 결과에서도 *S. chinensis* 에서는 schisandrin, gomisin A, gomisin N, schisandrin C [주요 리그난 성분으로 나타나 본

연구결과와 비슷한 패턴을 나타냈다 (He *et al.*, 1997; Deng *et al.*, 2008; Zhu *et al.*, 2007; Lu and Chen, 2009). 반면에 *S. sphenanthera*에서는 deoxyschisandrin 및 γ -schisandrin이 가장 높은 함량을 나타내는 것으로 보고되었다 (Yuan *et al.*, 2011; Zhu *et al.*, 2007; Lu and Chen, 2009).

최근 이들 주요 리그난 개별성분에 대해 고순도 정제 연구가 진행되고 있다. 잘 알려진 schisandrin을 제외하고 deoxyschisandrin, γ -schisandrin은 high speed counter current chromatography (HSCCC) 분리법을 통해 순도 95% 이상으로 고순도 정제되었으며 (Huang *et al.*, 2005), gomisin A, gomisin N 등 5종은 column 분획 및 supercritical antisolvent (SAS) 침전법을 이용하여 회수율 및 순도가 증진되었다 (Huang *et al.*, 2013). 그리고 개별 리그난 화합물에 대해 항염 효과 (Guo *et al.*, 2008; Oh *et al.*, 2010), 혈소판응집 저해효과 (Kim *et al.*, 2010), 항암효과 (Gu *et al.*, 2010), 인슐린저항성 증진의 당뇨개선효과 (Kwon *et al.*, 2011) 등 주요 성분들이 정제 되면서 관련 효능 메커니즘이 밝혀지고 있다.

대칭구조, 이성질체 등의 특성에 따라 생리활성 정도가 다르게 나타날 것으로 사료되어, 차후 이들의 구조에 따른 다양한 효능 평가 및 비교 확인이 필요하며, dibenzocyclooctadiene 리그난이 오미자 함유 주요 기능성분일 뿐만 아니라 뛰어난 약리 효능을 가진 화합물로서 재조명 받아야 할 것이다. 이로서 농가소득 증대 및 기능성식품, 의약 등의 제조를 통해 고부가 가치화 실현이 가능할 것으로 사료된다.

감사의 글

본 연구는 농촌진흥청 국립농업과학원 기관고유사업 ‘농식 품자원 유래 플라보노이드 소재탐색 및 DB구축(과제번호: PJ010056)’의 지원을 받아 수행된 결과로 이에 감사드립니다.

REFERENCES

- Chang GT, Kang SK, Kim JH, Chung KH, Chang YC and Kim CH.** (2005). Inhibitory effect of the Korean herbal medicine, Dae-Jo-Whan, on platelet activating factor induced platelet aggregation. *Journal of Ethnopharmacology*. 102:430-439.
- Deng X, Chen X, Cheng W, Shen Z and Bi K.** (2008). Simultaneous LC-MS quantification of 15 lignans in *Schisandra chinensis*(Turcz.) Baill fruit. *Chromatographia*. 67:559-566.
- Gu BH, Minh NV, Lee SH, Lim SW, Lee YM, Lee KS and Kim DK.** (2010). Deoxyschisandrin inhibits H₂O₂ induced apoptotic cell death in intestinal epithelial cells through nuclear factor κ B. *International Journal of Molecular Medicine*. 26:401-406.
- Guo LY, Hung TM, Bae KH, Shin EM, Zhou HY, Hong YN, Kang SS, Kim HP and Kim YS.** (2008). Anti-inflammatory effects of schisandrin isolated from the fruit of *Schisandra chinensis* Baill. *European Journal of Pharmacology*. 591:293-299.
- He XG, Lian LZ and Lin LZ.** (1997). Analysis of lignan constituents from *Schisandra chinensis* by liquid chromatography-electrospray mass spectrometry. *Journal of Chromatography A*. 757:81-87.
- Huang T, Shen P and Shen Y.** (2005). Preparative separation and purification of deoxyschisandrin and γ -schisandrin from *Schisandra chinensis*(Turcz.) Baill by high-speed counter-current chromatography. *Journal of Chromatography A*. 1066:239-242.
- Huang TL, Lin JCT, Chyau CC, Lin KL and Chang CMJ.** (2013). Purification of lignans from *Schisandra chinensis* fruit by using column fractionation and supercritical antisolvent precipitation. *Journal of Chromatography A*. 1282:27-37.
- Ikeya Y, Taguchi H and Yosioka I.** (1978). The constituents of *Schizandra chinensis* Baill. The structures of two new lignans, pre-gomisin and gomisin. *Journal of Chemical and Pharmaceutical Bulletin*. 26:682-684.
- Ikeya Y, Taguchi H, Yosioka I and Kobayashi H.** (1979a). The constituents of *Schizandra chinensis* Baill. III. The structures of four new lignans, gomisin H and its derivatives, angeloyl-, tigloyl- and benzoyl-gomisin H. *Chemical and Pharmaceutical Bulletin*. 27:1576-1582.
- Ikeya Y, Taguchi H, Yosioka I and Kobayashi H.** (1979b). The constituents of *Schizandra chinensis* Baill. V. The structures of four new lignans, gomisin N, gomisin O, epigomisin O and gomisin E, and transformation of gomisin N to deangeloylgomisin B. *Chemical and Pharmaceutical Bulletin*. 27:2695-2709.
- Ikeya Y, Taguchi H and Yosioka I.** (1979c). The constituents of *Schizandra chinensis* Baill. The cleavage of the methylenedioxy moiety with lead tetraacetate in benzene, and the structure of angeloylgomisin Q. *Chemical and Pharmaceutical Bulletin*. 27:2536-2538.
- Ikeya Y, Taguchi H and Yosioka I.** (1980a). The constituents of *Schizandra chinensis* Baill. VII. The structures of three new lignans, (-)-gomisin K₁ and (+)-gomisin K₂ and K₃. *Chemical and Pharmaceutical Bulletin*. 28:2422-2427.
- Ikeya Y, Taguchi H, Yosioka I and Kobayashi H.** (1980b). The constituents of *Schizandra chinensis* Baill. VIII. The structures of two new lignans, tigloylgomisin P and angeloylgomisin P. *Chemical and Pharmaceutical Bulletin*. 28:3357-3361.
- Ikeya Y, Taguchi H and Yosioka I.** (1982a). The constituents of *Schizandra chinensis* Baill. VII. The structures of γ -schisandrin and four new lignans, (-)-gomisin L₁ and L₂, (\pm)-gomisin M₁ and (+)-gomisin M₂. *Chemical and Pharmaceutical Bulletin*. 30:132-139.
- Ikeya Y, Ookawa N, Taguchi H and Yosioka I.** (1982b). The constituents of *Schizandra chinensis* Baill. XI. The structures of three new lignans, angeloylgomisin O, and angeloyl- and benzoylisogomisin O. *Chemical and Pharmaceutical Bulletin*. 30:3202-3206.
- Ikeya Y, Taguchi H and Yosioka I.** (1982c). The constituents of *Schizandra chinensis* Baill. XII. Isolation and structures of new lignans, gomisin R, the absolute structures of wuweizisu C and isolation of schisantherin D. *Chemical and Pharmaceutical Bulletin*. 30:3207-3211.
- Ikeya Y, Kanatani H, Hakozaki M, Taguchi H and Mitsuhashi H.** (1988a). The constituents of *Schizandra chinensis* Baill. XV. Isolation and structure determination of two new lignans,

- gomisin S and gomisin T. *Chemical and Pharmaceutical Bulletin*. 36:3974-3979.
- Ikeya Y, Taguchi H, Mitsuhashi H, Takeda S, Kase Y and Aburada M.** (1988b). A lignan from *Schizandra chinensis*. *Phytochemistry*. 27:569-573.
- Ikeya Y, Miki E, Okada M, Mitsuhashi H and Chai JG.** (1990). Benzoylgomisin Q and benzoylgomisin P, two new lignans from *Schisandra sphenanthera* Rehd. et Wils. *Chemical and Pharmaceutical Bulletin*. 38:1408-1411.
- Ikeya Y, Sugama K, Okada M and Mitsuhashi H.** (1991). Two lignans from *Schisandra sphenanthera*. *Phytochemistry*. 30:975-980.
- Kang MG, Kim YH, Im AR, Nam BS, Chae SW and Lee MY.** (2014). Antidepressant-like effects of *Schisandra chinensis* Baillon water extract on animal model induced by chronic mild stress. *Korean Journal of Medicinal Crop Science*. 22:196-202.
- Kim MG, Lee CH and Lee HS.** (2010). Anti-platelet aggregation activity of lignans isolated from *Schisandra chinensis* fruits. *Journal of the Korean Society for Applied Biological Chemistry*. 53:740-745.
- Kwon DY, Kim DS, Yang HJ and Park SM.** (2011). The lignan-rich fractions of *Fructus Schisandrae* improve insulin sensitivity via the PPAR- γ pathways in *in vitro* and *in vivo* studies. *Journal of Ethnopharmacology*. 135:455-462.
- Lee JH, Beak IY, Ko JM, Shim KB, Kang NS, Kim HT, Kang CH, Park KY, Park KH and Ha TJ.** (2008). Correlation of lignan contents with protein and oil contents in the seeds of *Sesamum indicum* L. *Journal of Applied Biological Chemistry*. 51:20-27.
- Lu Y and Chen DF.** (2009). Analysis of *Schisandra chinensis* and *Schisandra sphenanthera*. *Journal of Chromatography A*. 1216:1980-1990.
- Oh SY, Kim YH, Bae DS, Um BH, Pan CH, Kim CY, Lee HJ and Lee JK.** (2010). Anti-inflammatory effects of gomisin N, gomisin J, schisandrin C isolated from the fruit of *Schisandra chinensis*. *Bioscience, Biotechnology, and Biochemistry*. 74:285-291.
- Rangkadilok N, Pholphana N, Mahidol C, Wongyai W, Saengsooksree K, Nookabkaew S and Satayavivad J.** (2010). Variation of sesamin, sesamolin and tocopherols in sesame (*Sesamum indicum* L.) seeds and oil products in Thailand. *Food Chemistry*. 122:724-730.
- Taguchi H and Ikeya Y.** (1977). The constituents of *Schizandra chinensis* Baill. The structures of two new lignans, gomisin F and G, and the absolute structures of gomisin A, B, and C. *Chemical and Pharmaceutical Bulletin*. 25:364-366.
- Wang BL, Hu JP, Tan W, Sheng L, Chen H and Li Y.** (2008). Simultaneous quantification of four active schisandra lignans from a traditional Chinese medicine *Schisandra chinensis* (Wuweizi) in rat plasma using liquid chromatography/mass spectrometry. *Journal of Chromatography B*. 865:114-120.
- Wang YH, Qiu C, Wang DW, Hu ZF, Yu BY and Zhu DN.** (2011). Identification of multiple constituents in the traditional Chinese medicine formula Sheng-Mai San and rat plasma after oral administration by HPLC-DAD-MS/MS. *Journal of Pharmaceutical and Biomedical Analysis*. 54:1110-1127.
- Wei H, Sun L, Tai Z, Gao S, Xu W and Chen W.** (2010). A simple and sensitive HPLC method for the simultaneous determination of eight bioactive components and fingerprint analysis of *Schisandra sphenanthera*. *Analytica Chimica Acta*. 662:97-104.
- Yang JM, Ip PSP, Yeung JHK and Che CT.** (2011). HPLC-MS analysis of *Schisandra* lignans and their metabolites in Caco-2 cell monolayer and rat everted gut sac models and in rat plasma. *Acta Pharmaceutica Sinica B*. 1:46-55.
- Yuan G, Liu Y, Li T, Wang Y, Sheng Y and Guan M.** (2011). Simultaneous and rapid determination of main lignans in different parts of *Schisandra sphenanthera* by micellar electrokinetic capillary chromatography. *Molecules*. 16:3713-3722.
- Zhu M, Chen XS and Wang KX.** (2007). Variation of the lignan content of *Schisandra chinensis*(Turcz.) Baill. and *Schisandra sphenanthera* Rehd. et Wils. *Chromatographia*. 66:125-128.